

# Modelos mistos na Engenharia de Avaliações

Possibilidades e aplicações

Luiz F. P. Droubi\*

Carlos Augusto Zilli†

Norberto Hochheim‡

15/10/2020

## Resumo

Este trabalho visa a introdução aos modelos mistos ou hierárquicos, com foco para a aplicação na Engenharia de Avaliações. A modelagem de efeitos mistos pode ser bastante útil na Engenharia de Avaliações quando há presença de heterogeneidade amostral, especialmente no contexto da ocorrência de ausência de dados em número suficiente para uma determinada característica, situação em que a estimação por modelos mistos é mais eficiente. Além disto, com a modelagem hierárquica se abre um campo muito interessante para a análise do impacto da presença de amenidades sobre os valores dos imóveis, possivelmente até embasando a realização de investimentos em infraestrutura e/ou intervenções urbanas com fins de valorização dos imóveis, visando a recuperação das mais-valias. Finalmente, os modelos mistos possuem grande aplicação para a análise de dados em séries temporais ou em painel, o que indica um grande potencial de aplicação destes modelos para a confecção de índices de preços de imóveis.

## 1 Introdução

Na Engenharia de Avaliações, assim como em diversos ramos das ciências sociais, a abordagem padrão para lidar com a heterogeneidade amostral é a modelagem com efeitos fixos. Este tipo de abordagem permite a segregação dos dados da amostra em diferentes agrupamentos, através da utilização de variáveis *dummies*<sup>1</sup> que indicam a que agrupamento pertence cada dado amostral.

---

\*Engenheiro Civil e Cientista de Dados. Especialista em Auditoria, Avaliações e Perícias de Engenharia pelo IPOG. É mestrando em Gestão Territorial pela Universidade Federal de Santa Catarina (UFSC). É pesquisador no Grupo de Engenharia de Avaliações e Perícias (GEAP-UFSC), [lfpdroubi@gmail.com](mailto:lfpdroubi@gmail.com)

†Engenheiro Civil, Engenheiro de Segurança do Trabalho e Matemático. É especialista em Gestão de Obras e Projetos pela Universidade do Sul de Santa Catarina (UNISUL). É mestre em Gestão Territorial pela Universidade Federal de Santa Catarina (UFSC). É docente no Instituto Federal de Santa Catarina (IFSC) e pesquisador do Grupo de Engenharia de Avaliações e Perícias (GEAP), [carlos.zilli@ifsc.edu.br](mailto:carlos.zilli@ifsc.edu.br)

‡Professor Titular do Departamento de Engenharia Civil da Universidade Federal de Santa Catarina (UFSC), é Engenheiro Civil e Mestre em Engenharia de Produção e Sistemas pela UFSC, Doutor pela Université de Nancy (França). Ministra disciplinas em cursos de graduação, especialização, mestrado e doutorado, entre elas *Engenharia de Avaliações, Planejamento Econômico e Financeiro* e *PVGs*, [hochheim@gmail.com](mailto:hochheim@gmail.com)

<sup>1</sup>Ou variáveis dicotômicas em grupo. Neste trabalho estas variáveis serão tratadas simplesmente pelo termo em inglês *dummies*.

Como será visto, no entanto, este tipo de modelagem elimina a possibilidade de *explicar* a variância *entre* os diversos grupos de dados. Na Engenharia de Avaliações, quando o objetivo é a previsão de valores de um imóvel em específico, isto não acarreta em nenhum problema, a não ser que existam poucos dados nos agrupamentos, o que acaba por prejudicar a estimação.

No entanto, quando o objetivo é a explicação do mercado, a modelagem por efeitos fixos deixa a desejar: o máximo que se pode obter de um modelo de efeitos fixos é a magnitude do efeito da localização em um determinado agrupamento.<sup>2</sup> Nada que possa explicar o contexto pode ser incluído na análise, já que toda a variância no nível dos agrupamentos é absorvida pelas *dummies*.

Nos modelos mistos, além dos efeitos fixos ligados à explicação do valor dos imóveis, tais como área, número de quartos e/ou banheiros, e outros, efeitos aleatórios são utilizados para lidar com a heterogeneidade da amostra, seja devido ao contexto, seja devido ao tempo, já que os modelos mistos possuem grande aplicação na modelagem de dados em painel ou séries temporais.

O objetivo deste trabalho é a apresentação dos modelos mistos e suas possibilidades de aplicação na Engenharia de Avaliações. No caso da modelagem de dados em seção transversal (corte), será mostrado como os modelos mistos podem ser úteis na elaboração de plantas de valores genéricos. Além disto, será discutido brevemente a aplicação dos modelos mistos para dados em painel, o que pode ser útil, na Engenharia de Avaliações, na construção de índices de preços de imóveis.

## **2 Revisão Bibliográfica**

Os modelos de efeitos fixos são uma espécie de “padrão ouro” em diversos ramos da ciência para lidar com a heterogeneidade amostral. No entanto, de acordo com Bell *et al.* (2019, p. 1052), os modelos mistos bem especificados oferecem uma abordagem muito mais completa destes tipos de dados do que a modelagem por efeitos fixos.

Segundo Bell *et al.* (2019, p. 1051), existe uma confusão na literatura a respeito dos modelos mistos, no que tange à aglutinação em uma modelagem de diversos tipos de efeitos, fixos e aleatórios, sendo que os modelos mistos mais complexos tem sido chamados, erroneamente, de modelos híbridos.

Os modelos mistos também podem ser confundidos com modelos multiníveis ou hierárquicos, uma vez que estes últimos são um caso particular dos primeiros, *i.e* os modelos hierárquicos são modelos mistos em que os dados se apresentam de maneira aninhada (imóveis se agrupam em bairros, que por sua vez se agrupam em regiões e assim por diante), o que possibilita a sua modelagem de maneira hierárquica. No entanto, se os dados se agrupam em diferentes grupamentos independentes, não aninhados, a modelagem hierárquica não se aplica, porém estes tipos de dados podem também ser modelados pelos modelos mistos. Em suma, todo modelo hierárquico é um modelo misto, mas o inverso não se aplica (BATES *et al.*, 2015).

---

<sup>2</sup>Plümper e Troeger (2007) propuseram efetuar a decomposição vetorial do modelo de efeitos fixos para a modelagem de níveis mais altos, porém este método foi fortemente criticado por sua imprecisão no cálculo dos erros-padrão e ainda possui as desvantagens de não ser possível a estimação de níveis superiores a 2 e de requerer a estimação em diferentes estágios (BELL; JONES, 2015, pp. 140–141).

## 2.1 Modelagem por efeitos fixos

A modelagem por efeitos fixos é frequentemente aplicada na Engenharia de Avaliações, assim como em diversas outras áreas da ciência (BELL et al., 2019, p. 1057), apesar desta terminologia não ser sempre empregada.

Um modelo de efeitos fixos nada mais é do que um modelo em que a heterogeneidade da amostra é resolvida através da inclusão de variáveis *dummies* representando cada agrupamento de dados. Após a inclusão destas variáveis, a estimação é feita pelo métodos dos mínimos quadrados ordinários.

A modelagem por efeitos fixos pode ser escrita conforme a equação 1, onde a variância entre os agrupamentos de dados (variância de nível mais alto) é modelada através de variáveis *dummies*  $D_j$  (BELL; JONES, 2015, p. 138):

$$y_{ij} = \sum_{j=1}^j \beta_{0j} D_j + \beta_1 x_{ij} + \varepsilon_{ij} \quad (1)$$

Onde  $y_{ij}$  é a variável resposta,  $i$  e  $j$  se referem aos dois níveis de análise, com  $i$  representando o nível dos indivíduos e  $j$  o nível dos agrupamentos,  $x_{ij}$  é uma (podem haver mais) variável explicativa com características variantes entre os indivíduos da amostra e  $\varepsilon_{ij}$  é um termo de erro, que são assumidos independentes e identicamente distribuídos (i.i.d), com distribuição supostamente normal, média zero e desvio-padrão  $\sigma_\varepsilon^2$ .

No entanto, uma outra maneira mais conveniente de escrever a formulação de efeitos fixos, para a comparação que se pretende, equivalente à primeira, pode ser vista na equação 2 (BELL et al., 2019, p. 1058):

$$y_{ij} = \beta_1 (x_{ij} - \bar{x}_j) + (v_j + \varepsilon_{ij}) \quad (2)$$

Onde  $v_j$  é um termo discreto para cada agrupamento de dados<sup>3</sup>.

Na prática, no entanto, a formulação acima raramente é utilizada, pois perde-se um grau de liberdade na estimação de um intercepto para cada bairro, quando se pode utilizar um nível de referência e estimar apenas a diferença entre os níveis de cada agrupamento em relação a este nível de referência, como ilustrado na equação 3 (BELL et al., 2019, p. 1058):

$$(y_{ij} - \bar{y}_i) = \beta_1 (x_{ij} - \bar{x}_j) + (\varepsilon_{ij}) \quad (3)$$

## 2.2 Modelagem por efeitos mistos

Existem diversas formas de se utilizar os modelos mistos. Neste trabalho apresentam-se diversas possibilidades, desde a abordagem mais simples, que possibilita uma melhor comparação com o modelo de efeitos fixos, muito conhecido na Engenharia de Avaliações, até a abordagem mais complexa, a formulação REWB (Random Effects Within-Between).

<sup>3</sup>O termo  $v_j$  é o intercepto de cada agrupamento, quando se ajusta um modelo sem intercepto.

### 2.2.1 Modelo de efeitos mistos simples

A modelagem por efeitos mistos considera, além dos efeitos fixos, um termo de efeitos aleatórios (BELL et al., 2019, p. 1059). Uma das maneiras de escrever a formulação de efeitos mistos pode ser vista na equação 4.

$$y_{ij} = \beta_0 + \beta_1^{RE} x_{ij} + \beta_2 z_j + (v_j + \varepsilon_{ij}) \quad (4)$$

No caso da equação 4, o termo  $v_j$  é um termo estocástico de efeitos aleatórios para os agrupamentos, suposto normalmente distribuído e com média zero, ou seja  $v_j \sim N(0, \sigma_v^2)$  (BELL et al., 2019, p. 1055). A variável  $x_{ij}$  é uma variável de nível 1, variante entre os indivíduos e a variável  $z_j$  é uma variável de nível 2, variante entre os agrupamentos, i.e. a variável  $z_j$  não é uma variável hedônica dos imóveis, mas uma variável que representa todo um grupo de imóveis.<sup>4</sup>

Neste tipo de modelagem estimam-se, além dos coeficientes das variáveis de nível mais baixo,  $\beta_0$  e  $\beta_1$ , o(s) coeficiente(s) da(s) variável(eis) de segundo nível  $\beta_2$  e os parâmetros  $\sigma_\varepsilon^2$  e  $\sigma_v^2$ , ou seja, as variâncias de primeiro e segundo nível, respectivamente.

A diferença de nível entre as variáveis pode ser melhor compreendida ao se dividir a modelagem em dois níveis (modelagem hierárquica), como pode ser visto nas equações 5 e 6:

$$y_{ij} = \beta_{0j} + \beta_1^{RE} x_{ij} + \varepsilon_{ij} \quad (5)$$

$$\beta_{0j} = \beta_0 + \beta_2 z_j + v_j \quad (6)$$

Segundo Bell e Jones (2015, pp. 135–136), a equação 5 é chamada de parte micro, enquanto a equação 6 é chamada de parte macro da formulação de efeitos mistos, que são estimadas em conjunto ao substituir 6 em 5 para se obter o modelo misto da equação 4.

Em suma, para Bell et al. (2019, p. 1061), a grande diferença entre a formulação de efeitos fixos e a formulação de efeitos mistos está na maneira como as modelagens tratam os agrupamentos de dados, se de maneira discreta (efeitos fixos) ou de maneira aleatória (efeitos aleatórios). Enquanto na modelagem de efeitos fixos são adicionadas variáveis *dummies* discretas para a modelagem dos diferentes agrupamentos, na modelagem de efeitos aleatórios é considerado que a diferença entre os dados de diferentes agrupamentos pode ser modelada por uma variável aleatória normal.

Enquanto nos modelos mistos a variância é dividida em duas partes, uma ao nível dos indivíduos e outra ao nível dos agrupamentos, nos modelos de efeitos fixos a variância entre os agrupamentos é totalmente absorvida pelas variáveis *dummies*, que consomem todos os graus de liberdade do segundo nível hierárquico, eliminando dessa forma qualquer possibilidade de introdução de variáveis como  $z_j$ , na equação 4 (BELL; JONES, 2015, p. 139).

Segundo os autores citados, ainda, esta visão não é unânime: na econometria, por exemplo, é considerado que a diferença fundamental entre as modelagens de efeitos fixos e efeitos mistos está de fato na hipótese considerada pelos modelos mistos de que não há correlação dos efeitos aleatórios (representados por  $v_i$ ) e os regressores ( $x_{ij}$ ), o que é permitido na modelagem de efeitos fixos (BELL et al., 2019, p. 1060).

<sup>4</sup>É possível utilizar os modelos mistos sem a utilização de qualquer variável de segundo nível, obtendo-se um modelo de interceptos aleatórios.

Deve-se notar ainda que os modelos mistos, tal como apresentados na equação 4, ainda podem ser facilmente estendidos para incorporar outros níveis hierárquicos mais altos, ou ainda a variabilidade não apenas para os interceptos, mas também para os coeficientes das variáveis explicativas, com o consumo de apenas mais um grau de liberdade, como pode ser visto na equação 7, onde além do termo aleatório relacionado aos interceptos é adicionado outro termo aleatório,  $\gamma_j \sim N(0, \sigma_\gamma^2)$ , relacionado às inclinações, formando assim um modelo de interceptos e inclinações aleatórias (BELL et al., 2019, p. 1052):

$$y_{ij} = (\beta_0 + v_j) + (\beta_1 + \gamma_j)x_{ij} + \beta_2 z_j + \varepsilon_{ij} \quad (7)$$

Na modelagem por efeitos fixos seriam necessárias a inclusão de diversos termos de interação para a modelagem de uma inclinação diferente para cada agrupamento, gerando um modelo cuja estimação é extremamente custosa em termos de graus de liberdade.

## 2.2.2 Formulação de Mundlak

Esta formulação consiste da introdução de um termo adicional à parte macro do modelo, que leva em conta a variação *entre* os grupos (*between effect*), de maneira que a equação 6 torna-se:

$$\beta_{0j} = \beta_0 + \beta_2 z_j + \beta_3 \bar{x}_j + v_j \quad (8)$$

A combinação das equações 5 e 8 toma a forma da equação 9, que é conhecida na literatura como formulação de Mundlak (BELL; JONES, 2015, p. 1055):

$$y_{ij} = \beta_0 + \beta_1 x_{ij} + \beta_3 \bar{x}_j + \beta_2 z_j + (v_j + \varepsilon_{ij}) \quad (9)$$

Segundo Bell et al. (2019, p. 1055), na formulação de Mundlak o efeito contextual, representado na equação 9 pelo termo  $\beta_3$  (algumas vezes escrito como  $\beta_C$ ), é de interesse, pois mostra a *diferença* entre os efeitos *dentro* (*within effect*) e *entre* (*between effect*) os grupos.

Na prática, os modelos de Mundlak e os modelos de efeitos fixos estimarão exatamente os mesmos valores para os coeficientes de efeitos dentro dos agrupamentos (*within effects*), representado na formulação acima pelo termo  $\beta_1$ , algumas vezes escrito  $\beta_W$  (BELL et al., 2019, p. 1057).

Esta formulação, segundo Bell et al. (2019, p. 1056), é particularmente interessante para a análise de dados em seção transversal, pois o coeficiente  $\beta_C$  representa o efeito da mudança de grupo de um indivíduo, mantidas as suas características.

Na Engenharia de Avaliações, por exemplo, o valor de  $\beta_C$  pode representar qual é a influência de uma característica no valor de um lote-padrão, quando este lote-padrão muda de um bairro ou zona para outro, o que é particularmente interessante para a confecção de planta de valores genéricos. Por exemplo, imagine-se que se esteja tratando da variável área do lote: enquanto  $\beta_W$  representa o efeito da mudança de área de um imóvel dentro dos agrupamentos,  $\beta_C$  representará o efeito da mudança da área média do agrupamento sobre o valor do lote, ou seja, qual o efeito do contexto sobre o valor do lote.

### 2.2.3 Formulação Within-Between

Uma maneira às vezes mais adequada de escrever a formulação de modelos mistos consiste na separação total dos efeitos dentro dos agrupamentos dos efeitos entre os agrupamentos, o que é conhecido na literatura por formulação *within-between*. Esta formulação é a mais genérica, capaz de modelar diversos efeitos separadamente e é particularmente interessante na análise de dados em painéis ou séries temporais, dada a sua melhor interpretabilidade para estes tipos de dados (BELL; JONES, 2015, p. 143).

Partindo da formulação de Mundlak, os efeitos *within* e *between* podem ter seus efeitos totalmente separados pela divisão do coeficiente  $\beta_3$  da equação 9, escrevendo-o explicitamente como uma diferença em relação ao coeficiente  $\beta_1$ , conforme mostrado pela equação 11

$$y_{ij} = \beta_0 + \beta_1 x_{ij} + (\beta_4 - \beta_1) \bar{x}_j + \beta_2 z_j + (v_j + \varepsilon_{it}) \quad (10)$$

Rearranjando conveniente a equação 11, chega-se à formulação REWB, como mostra a equação 12:

$$y_{ij} = \beta_0 + \beta_1 (x_{ij} - \bar{x}_j) + \beta_4 \bar{x}_j + \beta_2 z_j + (v_j + \varepsilon_{it}) \quad (11)$$

Mais uma vez é possível, ainda, a adição de inclinações aleatórias nesta formulação, obtendo-se assim a formulação mais genérica possível, como pode ser visto na equação 12:

$$y_{ij} = \mu + \beta_W (x_{ij} - \bar{x}_j) + \beta_B \bar{x}_j + \beta_2 z_j + v_{j0} + v_{j1} (x_{ij} - \bar{x}_j) + \varepsilon_{ij0} \quad (12)$$

Onde o termo  $v_{j0}$  está relacionado à aleatoriedade do intercepto e o termo  $v_{j1}$  está relacionado à aleatoriedade do coeficiente da variável  $x$ .

## 2.3 Considerações sobre a pertinência de cada modelagem

Segundo Bell e Jones (2015, p. 143), um modelo de efeitos fixos pode ser visto como uma forma de modelo de efeitos mistos onde a variância nos níveis mais altos é restringida a infinito. Desta maneira, para Bell e Jones (2015), os modelos de efeitos mistos são muito mais interessantes do que os modelos de efeitos fixos, já que além de propiciarem todas as informações que os modelos de efeitos fixos propiciam, eles ainda tem possibilidade de ir além e fornecer outras informações que os modelos de efeitos fixos não fornecem, como a separação dos efeitos de uma variável *entre* os agrupamentos e *dentro* dos agrupamentos. Para Bell *et al.* (2019, p. 1060), para o efeito *dentro* dos agrupamentos, os resultados estimados pela formulação REWB ou pela formulação de Mundlak serão rigorosamente os mesmos obtidos pelo modelo de efeitos fixos. No entanto, enquanto os modelos de REWB e de Mundlak fornecem informações a respeito dos efeitos *entre* os agrupamentos, os modelos de efeitos fixos não são capazes de fornecer qualquer informação a este respeito, já que a variância de nível mais alto foi restringida.

Deve ser feita uma distinção também entre os objetivos da modelagem: na Engenharia de Avaliações, se o objetivo for determinar o valor de um imóvel em específico a partir de uma amostra heterogênea, sem a pretensão de explicar a diferença de valores entre os diversos agrupamentos, a formulação de efeitos fixos é suficiente, exceto no caso de não haver dados

suficientes para uma boa estimativa dentro de cada agrupamento. Já quando o objetivo é a obtenção do valor de um imóvel padrão em diferentes agrupamentos, como na elaboração de uma PVG, a modelagem por efeitos mistos é a mais adequada, especialmente se não se dispõe de dados disponíveis para os diferentes agrupamentos, mas apenas para uma parte (representativa) deles, caso em que a adição de variáveis de nível mais alto podem ser utilizadas para a previsão de valores nos agrupamentos não-amostrados.

Deve ser observado também que a hipótese de modelar os diversos agrupamentos como uma variável aleatória é razoável apenas quando o número de agrupamentos for grande o suficiente. Para poucos agrupamentos, a modelagem por efeitos fixos ainda parece ser mais adequada (ver BELL et al., 2019, p. 1071).

Também deve ser observado, ainda, que a utilização da formulação simples para modelos mistos, como a da equação 4, como muitas vezes se encontra na prática (ver CICHULSKA; CELLMER, 2018), não é tão interessante como a aplicação das modelagens REWB e de Mundlak. No entanto, a aplicação da formulação REWB e de Mundlak só faz sentido se houver efetivamente uma diferença entre os efeitos dentro e entre os agrupamentos. Caso  $\beta_{1W} = \beta_{2B}$  (REWB) ou  $\beta_{2C} = 0$  (Mundlak), não faz sentido utilizar estas formulações e a formulação simples de efeitos mistos (equação 4) deve ser a adotada (BELL et al., 2019, p. 1058).

## 2.4 Estimativa em modelos mistos

Existem diversas formas de estimativa para os modelos mistos. Segundo Jones e Bullen (1994, p. 258), até meados da década de 80 a falta de algoritmos de estimativa gerais limitava severamente a aplicação da modelagem multinível. Durante a década de 80, contudo, três algoritmos tornaram-se disponíveis, sendo os mais importantes o procedimento de Goldstein (1986), que consistia na estimativa dos mínimos quadrados generalizados de maneira iterativa e um algoritmo denominado Fischer-scoring (LONGFORD, 1987).

Mais recentemente, a estimativa através da penalização de mínimos quadrados ponderados tem se mostrado superior em termos computacionais (BATES, 2018a, 2018b).

Os detalhes da implementação estão além do escopo deste artigo e podem ser vistos em Bates (2018b).

Segundo Clark (2019), uma das características mais fortes da estimativa em modelos mistos está relacionada ao encolhimento, ou seja, a suposição da normalidade dos efeitos aleatórios tem o efeito de penalizar mais as observações mais discrepantes, fazendo com que os interceptos e coeficientes previstos se encolham em direção aos valores médios.

Isto é particularmente interessante no caso da presença de agrupamentos com pequeno número de dados: enquanto nos modelos de efeitos fixos os valores dos coeficientes e interceptos se superajustam a estes poucos dados, gerando valores extremos, nos modelos de efeitos mistos, os agrupamentos com menos dados e valores potencialmente mais extremos, tem os valores dos coeficientes e interceptos encolhidos em relação à média. É comum se referir a este efeito como um “empréstimo de força”, i.e. a previsão nos agrupamentos de menor número de dados é fortalecida pelo “empréstimo” de dados de outros agrupamentos (JONES; BULLEN, 1994, p. 260).



### 3 Estudo de Caso

Para o estudo de caso foi utilizada a implementação do pacote **lme4** (BATES et al., 2015) no R, versão 4.0.2 (R CORE TEAM, 2020).

#### 3.1 Criação de dados via simulação

Foram criados 500 dados de lotes, divididos igualmente em 10 bairros, a partir de simulação com o auxílio do software **R**.

Os dados foram criados conforme a equação abaixo 13 e 14, abaixo:

$$ValorUnitario = \beta_{0j} - 3,0 \cdot Area + \varepsilon_{ij} \quad (13)$$

$$\beta_{0j} = \beta_0 + 4000 \cdot A_{Vj} + 5,0 \cdot \overline{Area_j} + v_j \quad (14)$$

Onde:

1.  $Area$  são as áreas dos lotes;
2.  $A_{Vj}$  é uma variável de nível 2 que representa a porcentagem de áreas verdes em cada bairro, em relação à área total;
3.  $\overline{Area_j}$  é a área média dos lotes em cada bairro;
4.  $\varepsilon_{ij}$  é o termo de erro no primeiro nível de análise;
5.  $v_j$  é o termo de erro no segundo nível de análise.

Os parâmetros adotados para cada variável podem ser vistos na tabela 1:

Tabela 1: Parâmetros utilizados para simulação dos dados.

Variável	Tipo	Distribuição	Parâmetros	Obs.
Área do lote ( $Area$ )	Quantitativa	Normal	$\mu = 400 \text{ a } 500, \sigma = 50$	-
Área média ( $\overline{Area}$ )	Quantitativa	Discreta	$\sim 400 \text{ a } 500$	De 25 em 25
Bairro	Qualitativa	-	A a J	-
Áreas Verdes ( $A_V$ )	Quantitativa	Uniforme	$\mu = 0,2 \text{ a } 0,65$	De 0,05 em 0,05
$\beta_0$	Coefficiente	Discreta	3000	-
$v$	Erro	Normal	$\mu = 0, \sigma_v = 50$	-
$\varepsilon$	Erro	Normal	$\mu = 0, \sigma_\varepsilon = 100$	-

#### 3.2 Análise exploratória dos dados

Na figura 1 é possível ver os principais gráficos dos dados gerados.



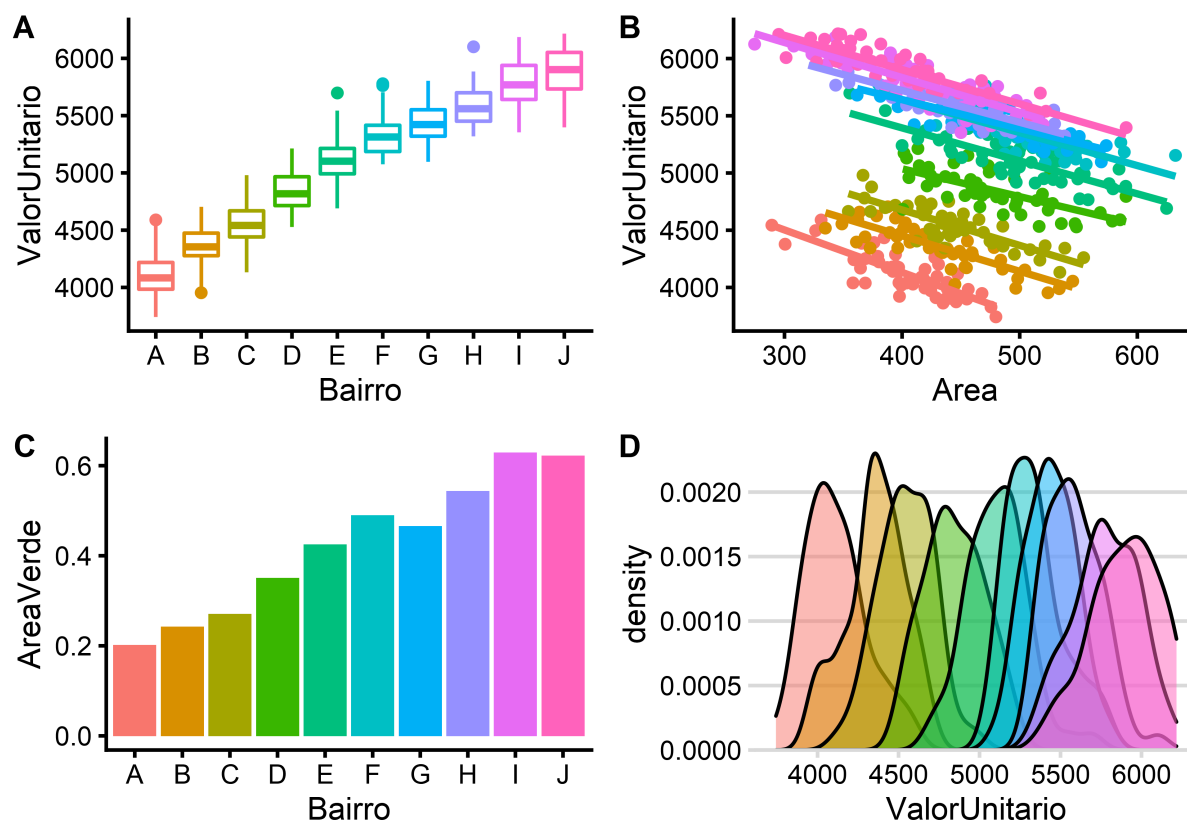


Figura 1: Análise exploratória dos dados.

### 3.3 Ajuste de modelos

Com os dados gerados foram ajustados um modelo de efeitos fixos e três modelos mistos: um modelo misto simples, que praticamente equivale ao modelo de efeitos fixos, um modelo misto com a adição de uma variável de segundo nível e um modelo misto utilizando-se a formulação de Mundlak.

Para o ajuste do modelo de efeitos fixos foram utilizados todos os dados gerados, pois não há como prever valores para bairros não contemplados na amostra em um modelo deste tipo.

#### 3.3.1 Modelo de efeitos fixos

Com os dados gerados, foi elaborado um modelo de efeitos fixos sem intercepto, apenas para que fique claro o valor do intercepto aleatório de cada bairro. Para dar interpretação a estes interceptos aleatórios, a variável *Area* foi centralizada em relação à área de um lote-padrão, considerado de  $400 m^2$ , desta maneira o valor do intercepto de cada bairro é igual ao valor do lote-padrão para este bairro<sup>5</sup>.

O modelo é descrito pela equação 15:

<sup>5</sup>A centralização de variáveis aqui presente não pretende nenhuma separação entre efeitos *within* e *between*, mas apenas possibilitar uma interpretação para os valores dos coeficientes dos interceptos para cada bairro. Ver Droubi *et al.* (2019) para mais detalhes sobre este tipo de centralização.

$$ValorUnitario = \beta_1(Area - 400) + \beta_{2j}Bairro_j + \varepsilon \quad (15)$$

onde  $\beta_{2j}$  são os coeficientes das variáveis dicotômicas em grupo ( $Bairro_j$ ).

### 3.3.2 Modelos mistos

Para o ajuste dos modelos mistos foram removidos os 50 dados relativos ao bairro H, que foram reservados para serem utilizados posteriormente para validação dos modelos, mostrando como a previsão de valores em modelos de efeitos mistos pode ser feita para agrupamentos não contemplados na amostra.

**3.3.2.1 Modelo misto simples** Foi elaborado um modelo misto simples, sem separação de efeitos entre e dentro dos agrupamentos, de acordo com a equação 16:

$$ValorUnitario = \beta_0 + \beta_1(Area - 400) + v_j + \varepsilon \quad (16)$$

Onde  $v_j$  é uma variável aleatória que foi utilizada para modelar os diferentes bairros.

**3.3.2.2 Modelo misto com variável de segundo nível** Foi elaborado um modelo misto simples, porém com a presença de variáveis de segundo nível hierárquico, como demonstrado na equação 17:

$$ValorUnitario = \beta_0 + \beta_1(Area - 400) + \beta_2A_{Vj} + v_j + \varepsilon \quad (17)$$

**3.3.2.3 Modelo misto com formulação de Mundlak** Finalmente, foi ajustado um modelo com a formulação de Mundlak. Este modelo foi elaborado de acordo com a formulação exibida na equação 18:

$$ValorUnitario = \beta_0 + \beta_1Area + \beta_{1C}\overline{Area_j} + \beta_2A_{Vj} + v_j + \varepsilon \quad (18)$$

## 3.4 Resultados

A tabela 2 mostra as estatísticas básicas dos diversos modelos mistos (colunas 2, 3 e 4) comparados aos modelo de efeitos fixos (coluna 1).

Tabela 2: Comparação dos modelos de efeitos fixos e efeitos mistos.

	Dependent variable:			
	ValorUnitario			
	OLS		linear mixed-effects	
	(1)	(2)	(3)	(4)
Intercepto		5.197,55 (216,47)***	3.564,12 (188,59)***	2.928,45 (371,57)***
(Area - 400)	-2,92 (0,10)***	-2,94 (0,10)***	-2,92 (0,10)***	
Bairro A	4.127,71 (15,39)***			
Bairro B	4.445,83 (15,67)***			
Bairro C	4.670,14 (15,92)***			
Bairro D	5.075,49 (17,16)***			
Bairro E	5.398,45 (18,08)***			
Bairro F	5.645,72 (18,40)***			
Bairro G	5.673,11 (17,23)***			
Bairro H	5.728,11 (16,11)***			
Bairro I	5.831,91 (15,49)***			
Bairro J	5.903,05 (15,38)***			
Area				-2,94 (0,10)***
Area (contexto)				4,05 (0,81)***
Area Verde			3.975,12 (431,82)***	3.940,15 (205,04)***
Observations	500	450	450	450
Log Likelihood		-2.781,80	-2.764,57	-2.758,14
Akaike Inf. Crit.	6.120,87	5.571,60	5.539,13	5.528,27
Bayesian Inf. Crit.	6.171,44	5.588,04	5.559,68	5.552,93

Note:

\*p&lt;0,3; \*\*p&lt;0,2; \*\*\*p&lt;0,1

Deve-se notar, primeiramente, que os valores estimados pelo modelo de efeitos fixos para os interceptos de cada bairro (coluna 1 da tabela 2) são praticamente os mesmos valores obtidos pela estimação do modelo misto simples, descritos na tabela 3, onde os valores de referência para cada bairro foram obtidos através da soma do intercepto global do modelo misto simples com os interceptos aleatórios do modelo misto simples, que podem ser visualizados na Figura 2. A única exceção é o bairro H, que foi suprimido da amostra para a confecção do modelo misto.

Como se pode notar na Figura 2, os valores dos interceptos aleatórios para cada bairro giram em torno de zero, o seu valor médio. Como o Bairro H (com  $A_V = 0,55$ ) foi omitido no ajuste do modelo, não há valores estimados para os efeitos aleatórios para este bairro.

A única informação a mais que se pode extrair do modelo de efeitos mistos simples é a componente de variância devido à localidade, separada da variância ao nível dos imóveis, o que pode ser visto na tabela 4.

Tabela 3: Valores dos interceptos para cada bairro.

A	B	C	D	E	F	G	I	J
4.128,4	4.446,7	4.671	5.076,7	5.399,7	5.646,9	5.674	5.831,8	5.902,7

Tabela 4: Efeitos randômicos do modelo misto.

grp	vcov	sdcor
Bairro	421.256,03	649,04
Residual	12.123,29	110,11

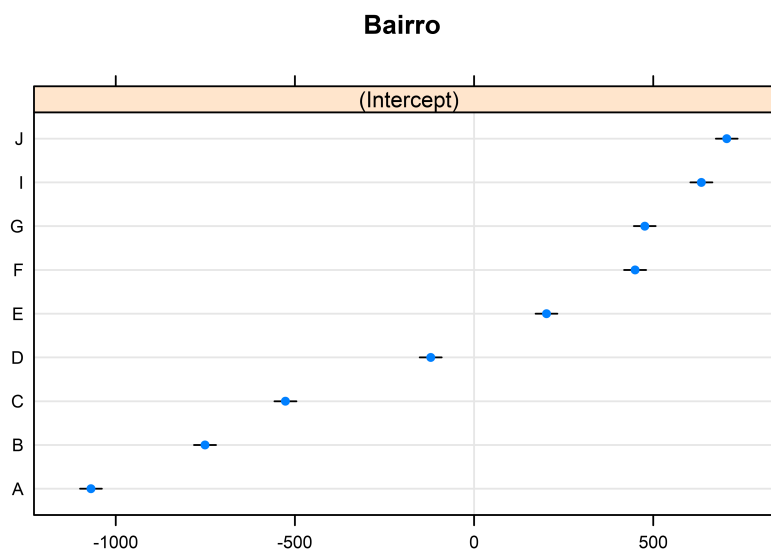


Figura 2: Efeitos aleatórios do modelo.

Pode-se notar que a variância devido à localidade é relevante para o modelo, haja vista que a variância devido à localidade é maior do que a variância devido às características dos imóveis.

Nos modelos onde houve a inclusão da variável Área Verde ( $A_V$ ), seu coeficiente foi bem estimado: o valor da influência das áreas verdes, simulado como aumento R\$ 40,00/m<sup>2</sup> a cada ponto percentual a mais de áreas verdes no bairro do imóvel, foi precisamente estimado.

Para o modelo de Mundlak, a estimação do coeficiente contextual ( $\beta_{1C}$ ) também resultou significativa, conforme esperado, já que os dados foram gerados com áreas médias diferentes para cada bairro.

Deve-se ponderar que, caso os dados não tivessem a estrutura esperada para a formulação adotada, haveria degeneração dos modelos. Por exemplo, caso não houvesse de fato variância alguma entre os bairros, ou seja, se o pertencimento a um determinado agrupamento não afetar na formação final de preços, o valor estimado para o desvio-padrão do efeito aleatório  $v$  seria igual a zero, *i. e.*  $\hat{\sigma}_v = 0$  (BATES, 2010, pp. 10–11) situação em que o modelo misto degenera para um modelo de regressão linear ordinária. No caso da formulação de Mundlak, caso não houvesse o efeito contextual, a variável de contexto não apresentaria significância, ou seja, deveria ser removida do modelo, fazendo com que o modelo degenera para um modelo misto simples.

Outra maneira de se testar a pertinência da formulação de Mundlak seria através da Análise de Variância. A tabela 5 faz a comparação entre o modelo de efeitos mistos sem variáveis de segundo nível (primeira linha), com a variável de segundo nível  $A_V$  (segunda linha) e com a formulação de Mundlak (terceira linha). Percebe-se que é significativa a melhora advinda da adição de um novo parâmetro no segundo modelo, assim como também é significativa a adoção de um novo parâmetro pela formulação de Mundlak, o que se nota nos baixos p-valores constantes da última coluna (zero).

Por último, porém não menos relevante, percebe-se que este modelo tem critérios de informação de Akaike (AIC) e de Bayes (BIC) melhores que os dois modelos iniciais.

Nas Figuras 3, 4 e 5 podem ser vistos os gráficos de densidades para os parâmetros estimados pelos modelos de efeitos mistos simples, com variável de segundo nível e com

Tabela 5: Análise de Variância.

	npar	AIC	BIC	logLik	deviance	Chisq	Df	Pr(>Chisq)
fit_lmer	4	5.581,43	5.597,86	-2.786,71	5.573,43	NA	NA	NA
fit_lmer2	5	5.560,28	5.580,83	-2.775,14	5.550,28	23,15	1	0
mundlak	6	5.547,46	5.572,12	-2.767,73	5.535,46	14,82	1	0

formulação de Mundlak, respectivamente. Nota-se que a ausência da variável de segundo nível levou o modelo de efeitos mistos simples a uma má estimação da distribuição da variável  $\sigma_v$  (no gráfico  $\sigma_1$ ), que apresentou uma longa cauda, com valores possíveis entre aproximadamente 400 e 1400.

Com o acréscimo da variável de segundo nível esta variável ficou com magnitude bem menor, ou seja, a introdução da variável de segundo nível reduziu a variação não-explicada pelo modelo. Por fim, a introdução da variável contextual reduziu ainda mais a variação não-explicada, gerando uma estimação precisa da variância do termo aleatório  $\sigma_v$ .

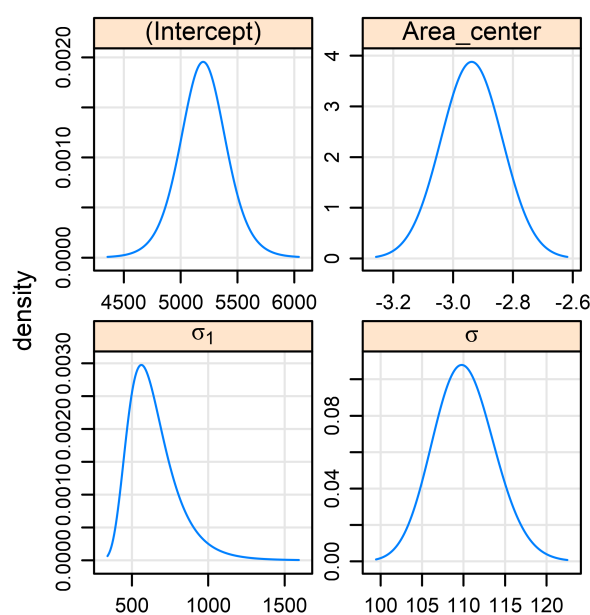


Figura 3: Densidades dos parâmetros do modelo de efeitos mistos simples.

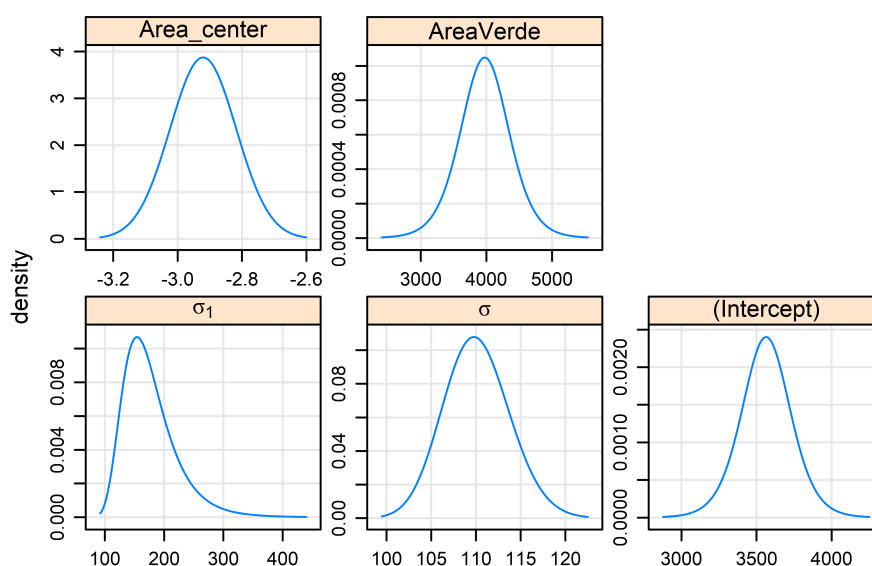


Figura 4: Densidades dos parâmetros do modelo de efeitos mistos com variável de segundo nível.

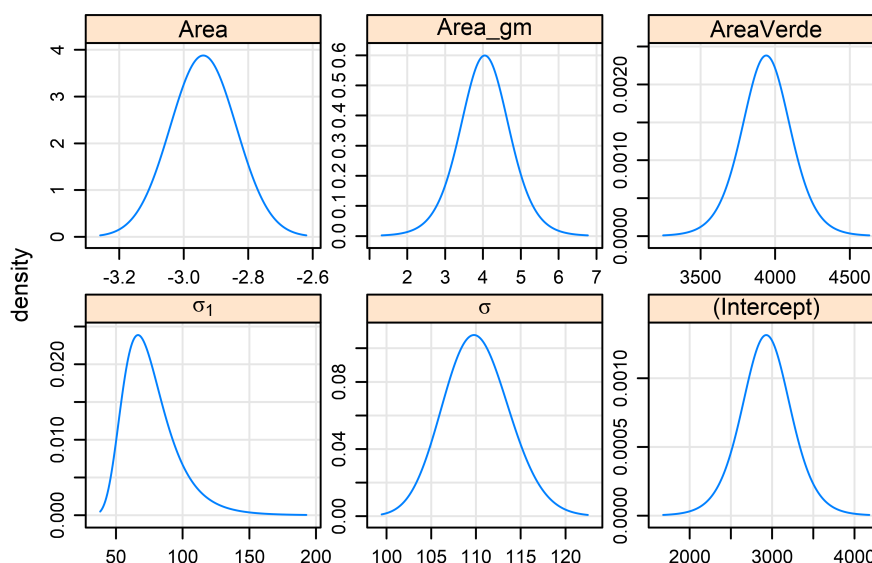


Figura 5: Densidades dos parâmetros do modelo de Mundlak.

### 3.5 Previsão de Valores

Para ilustrar como os modelos mistos podem ser utilizados no contexto de predição, foram elaboradas previsões no bairro H, que havia sido propositalmente excluído no ajuste dos modelos mistos, com os diversos modelos apresentados.

Também foram utilizados o modelo de efeitos fixos e o modelo misto com a variável de segundo nível  $A_V$  para a previsão de valores de lote-padrão para os diversos bairros, inclusive

para o bairro H, não utilizado para a confecção dos modelos mistos.

### 3.5.1 Previsão de dados no bairro H

Na Figura 6 podem ser vistos os gráficos de poder de predição para o modelo de efeitos fixos (A), para o modelo misto simples (B), para o modelo misto com a variável de segundo nível (C) e para o modelo misto com formulação de Mundlak (D). Como pode ser visto, todos os modelos possuem poderes de predição praticamente equivalentes, com exceção do modelo misto simples, onde a previsão de valores não pode ser feita com precisão já que, como no modelo de efeitos fixos, este modelo não tem parâmetros para prever valores em bairros não contemplados na amostra. Para efetuar as previsões no bairro H, então, o modelo considerou para a variável aleatória  $v$  o valor zero, ou seja, o valor esperado da variável, o que levou a previsões incorretas em relação aos valores simulados para aquele bairro.

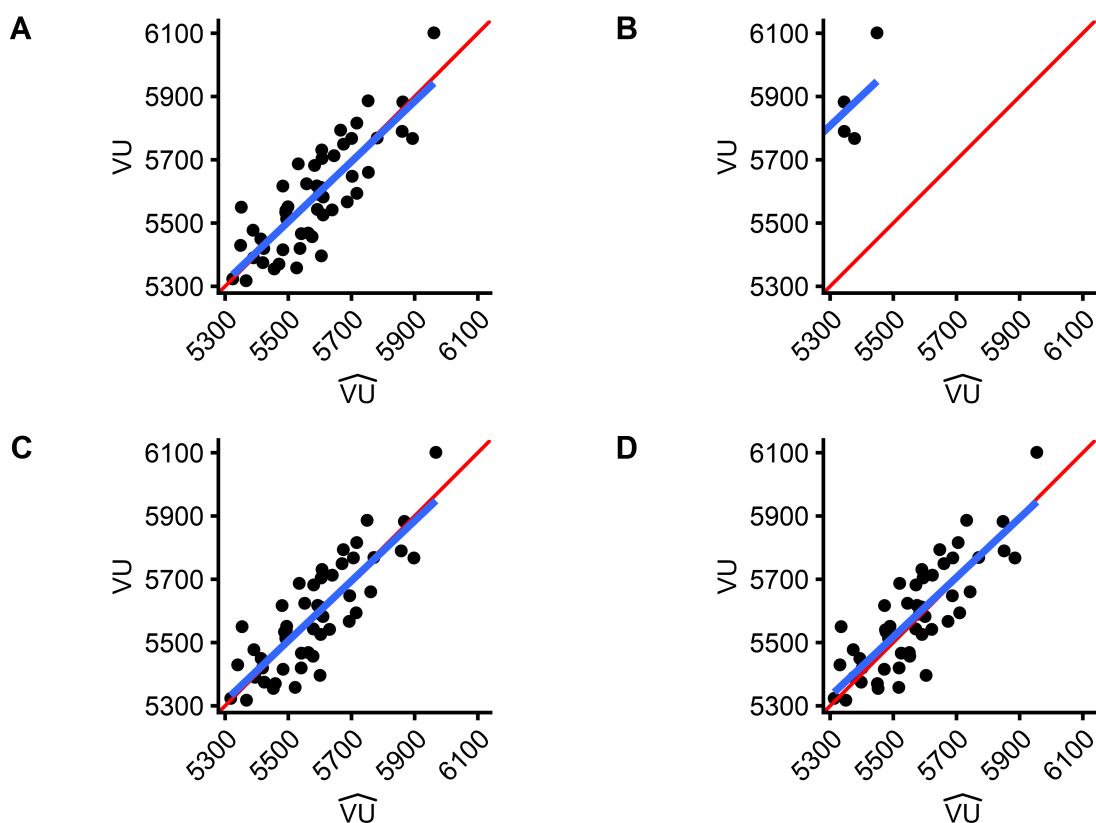


Figura 6: Gráficos de poder de predição para cada modelo.

### 3.5.2 Previsão de valores para lotes-padrão

Assim como a previsão de valores para os dados simulados para o bairro H, conforme se mostrou no item anterior, é possível prever valores para um lote-padrão nos diferentes bairros.

A tabela abaixo mostra os valores previsto pelos modelos para um lote-padrão de 400  $m^2$  nos diversos bairros:



Tabela 6: Previsões para valores de lote-padrão nos diferentes bairros.

Bairro	Modelo de efeitos fixos	Modelo misto com variável de segundo nível	Modelo Mundlak
A	4.127,71	4.129,29	4.129,54
B	4.445,83	4.446,40	4.446,49
C	4.670,14	4.669,97	4.668,98
D	5.075,49	5.074,77	5.076,55
E	5.398,45	5.397,57	5.401,27
F	5.645,72	5.644,91	5.649,62
G	5.673,11	5.671,47	5.670,20
H	5.728,11	5.728,10	5.713,74
I	5.831,91	5.833,46	5.834,97
J	5.903,05	5.903,93	5.900,99

### 3.5.3 Intervalos de predição

No caso dos modelos mistos, os intervalos de predição são calculados separadamente para cada efeito. Na tabela 7 podem ser vistos os intervalos de predição (@80%) para o lote-padrão no bairro G. A primeira linha mostra o intervalo total de predição combinado para os dois efeitos. A segunda linha mostra o intervalo de predição para o efeito aleatório (Bairro) e a terceira linha mostra o intervalo de predição para o efeito fixo.

Tabela 7: Previsão de valores para o lote padrão<sup>1</sup>.

Efeitos	Valor Central	Limite Superior	Limite Inferior	Observações
Combinados	5.691,26	5.985,94	5.356,04	1
Bairro (aleatórios)	475,89	613,69	336,76	1
Fixos	5.211,41	5.520,55	4.891,38	1

Nota: <sup>1</sup> Para o bairro G, a partir do modelo misto simples.

A tabela 8 mostra o intervalo de predição para o lote-padrão no bairro H.

Tabela 8: Previsão de valores para o lote padrão<sup>1</sup>.

Efeitos	Valor Central	Limite Superior	Limite Inferior	Observações
Combinados	5.728,10	5.910,12	5.542,45	1
Bairro (aleatórios)	-6,43	149,31	-136,54	1
Fixos	5.725,28	5.910,05	5.549,70	1

Nota: <sup>1</sup> Para o bairro H, a partir do modelo misto com variável de 2º nível.

A tabela 9 mostra o intervalo de predição para o lote-padrão no bairro H, obtido com o modelo de Mundlak.

Tabela 9: Previsão de valores para o lote padrão<sup>1</sup>.

Efeitos	Valor Central	Limite Superior	Limite Inferior	Observações
Combinados	5.713,74	5.866,18	5.562,96	1
Bairro (aleatórios)	2,13	136,18	-148,36	1
Fixos	5.714,68	5.866,14	5.564,00	1

Nota: <sup>1</sup> Para o bairro H, a partir do modelo com formulação de Mundlak.

Para efeitos de comparação, a tabela 10 mostra o intervalo de predição para o bairro H calculado com o modelo de efeitos fixos.

Tabela 10: Previsão de valores para o lote padrão<sup>1</sup>

Efeitos	Valor Central	Limite Superior	Limite Inferior
Fixos	5.728,11	5.869,19	5.587,03

Nota: <sup>1</sup> Para o bairro H, a partir do modelo de efeitos fixos.

Nota-se que os intervalos de predição do modelo de efeitos fixos apresentados na tabela 10 e o intervalo de predição total combinado do modelo com formulação de Mundlak (linha 1 da tabela 9) praticamente se equivalem. Deve-se lembrar, porém, que para o modelo de efeitos fixos foram utilizados 10% mais dados e que o modelo de efeitos mistos não utilizou qualquer dado amostral proveniente do bairro H.

## 4 Conclusão

A aplicação da modelagem mista ou hierárquica na Engenharia de Avaliações pode ser feita das mais diversas maneiras, desde a aplicação em avaliações de precisão, até a avaliação em massa para fins tributários, assim como para confecção de índices de preços de imóveis.

Neste trabalho foi mostrado como a Engenharia de Avaliações pode se valer da modelagem hierárquica ou mista para a confecção de PVG's, com a utilização de modelos com interceptos aleatórios, especialmente para estimação de valores para lotes-padrão em agrupamentos não presentes na amostra, através da utilização de variáveis de segundo nível que *expliquem* a variabilidade entre os bairros ou outros agrupamentos. Tais modelos são mais complexos e ao mesmo tempo elegantes, dividindo a variabilidade em diversos níveis, deixando claro ao analista de onde advém a variabilidade dos preços.

Embora a modelagem hierárquica seja considerada mais elegante do que a modelagem de efeitos fixos, deve-se ter em conta que a elaboração de modelos mistos sem variáveis de segundo nível, como é comum encontrar na literatura, não é tão interessante e quase nada agrega a uma melhor explicação do fenômeno estudado. Deve até haver uma melhora na estimação com os modelos mistos caso os dados de alguns agrupamentos estejam em número reduzido, mas o ideal é utilizar as formulações mais complexas da modelagem hierárquica de maneira a explorar ao máximo este tipo de modelagem.

Na análise de dados em seção transversal, como na elaboração de avaliações de precisão ou na elaboração de PVG's, deve ser utilizada, preferencialmente, a formulação de Mundlak, enquanto para dados em painel, como na confecção de índices de preços de imóveis, deve ser preferencialmente utilizada a formulação REWB.

Na modelagem hierárquica ainda é possível incorporar outras hipóteses úteis, além dos interceptos aleatórios, como as inclinações aleatórias, o que deve ser tema de outro trabalho.

Outra possibilidade é a modelagem em mais níveis hierárquicos: não apenas os imóveis podem ser agrupados em bairros, mas também os bairros podem, por sua vez, serem agrupados em macrozonas urbanas, assim como estas podem ser agrupadas em cidades, estas, por sua vez, em regiões e assim por diante. O ajuste de modelos tão complexos com efeitos fixos é inviável.

## Referências

BATES, D. Penalized least squares versus generalized least squares representations of linear mixed models., p. 7, 2018a. Disponível em: <<https://cran.r-project.org/web/packages/lme4/vignettes/PLSvGLS.pdf>>..

BATES, D. Computational methods for mixed models., p. 21, 2018b. Disponível em: <<https://cran.r-project.org/web/packages/lme4/vignettes/Theory.pdf>>..

BATES, D. **Lme4: Mixed-effects modeling with R**. 2010.

BATES, D.; MÄCHLER, M.; BOLKER, B.; WALKER, S. Fitting linear mixed-effects models using lme4. **Journal of Statistical Software**, v. 67, n. 1, p. 1–48, 2015.

BELL, A.; FAIRBROTHER, M.; JONES, K. Fixed and random effects models: Making an informed choice. **Quality and Quantity**, v. 53, p. 1051–1074, 2019.

BELL, A.; JONES, K. Explaining fixed effects: Random effects modeling of time-series cross-sectional and panel data. **Political Science Research and Methods**, v. 3, n. 1, p. 133–153, 2015. Cambridge University Press.

CICHULSKA, A.; CELLMER, R. Analysis of prices in the housing market using mixed models. **Real Estate Management and Valuation**, v. 26, n. 4, p. 102–111, 2018.

CLARK, M. Shrinkage in mixed effects models. **Michael Clark**, 2019. Disponível em: <<https://m-clark.github.io/posts/2019-05-14-shrinkage-in-mixed-models/>>..

DROUBI, L. F. P.; ZILLI, C. A.; HOCHHEIM, N. Centralização e escalonamento de dados amostrais: Prós, contras e aplicação na engenharia de avaliações. In: XX Congresso Brasileiro de Avaliações e Perícias. **Anais...**, 2019. Florianópolis: COBREAP.

GOLDSTEIN, H. Multilevel mixed linear model analysis using iterative generalized least squares. **Biometrika**, v. 73, n. 1, p. 43–56, 1986. Disponível em: <<https://doi.org/10.1093/biomet/73.1.43>>..

JONES, K.; BULLEN, N. Contextual models of urban house prices: A comparison of fixed- and random-coefficient models developed by expansion. **Economic Geography**, v. 70, n. 3, p. 252–272, 1994. [Clark University, Wiley]. Disponível em: <<http://www.jstor.org/stable/143993>>..

LONGFORD, N. A fast scoring algorithm for maximum likelihood estimation in unbalanced mixed models with nested random effects. **ETS Research Report Series**, v. 1987, n. 1, p. i–26, 1987. Disponível em: <<https://onlinelibrary.wiley.com/doi/abs/10.1002/j.2330-8516.1987.tb00217.x>>..

R CORE TEAM. **R: A language and environment for statistical computing**. Vienna, Austria: R Foundation for Statistical Computing, 2020.